



پژوهشگاه بین المللی زلزله شناسی و مهندسی زلزله

پایان نامه کارشناسی ارشد

مهندسی عمران - مهندسی زلزله

ارزیابی رفتار لرزه‌ای تپه‌های دوبعدی نیم سینوسی مجاور

دانشجو

کیاوش مهدّب

استاد راهنما

دکتر محسن کمالیان

بِسْمِ اللّٰهِ الرَّحْمٰنِ الرَّحِيْمِ

تَقْدِيمَه

پدر و مادر عزیزم

اعضاء هیئت داوران :

امضاء

استاد راهنما

امضاء

استاد مشاور

امضاء

استاد مدعو (خارجی)

امضاء

استاد مدعو (داخلی)

امضاء

مدیر تحصیلات تكمیلی

In the name of God

Evaluating Seismic Behavior of 2D semi-Sine Shaped Adjacent Hills

**By:
Kiavash mohazzab**

**Colleague :
Mohsen kamalian**



International Institute of Earthquake Engineering and Seismology



 پژوهشگاه بین المللی زلزله شناسی و مهندسی زلزله

پایان نامه کارشناسی ارشد

عنوان

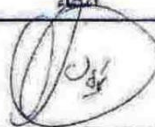
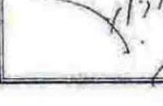
بررسی رفتار لرزه‌ای تپه‌های مرکب

موضوع

کیاوش مهدب

این پایان نامه به عنوان بخشی از فعالیت‌های علمی مندرج در ضوابط دوره‌های تحصیلات تکمیلی در پژوهشگاه بین المللی زلزله شناسی و مهندسی زلزله، جهت دریافت درجه کارشناسی ارشد و شرطه مهندسی عمران- مهندسی زلزله در تاریخ ۱۴۰۶/۲۹ آبانه شده است.

امضاء گفتدگان زیر، متن رساله حاضر را مطالعه نموده و آن را بر طبق ضوابط تحصیلات تکمیلی پژوهشگاه بین المللی زلزله شناسی و مهندسی زلزله، برای دریافت کارشناسی ارشد با نتیجه تیکابی ۱۹/۵ و درجه مورد تأیید اقرار داده‌اند.

ردیف	مشخصات هیأت داوران	نام و نام خانوادگی	ردیف علمی	دانشگاه یا مؤسسه	امضاء
۱	استاد راهنمای	دکتر گمالان	دستیار	پژوهشگاه بین المللی زلزله شناسی و مهندسی زلزله	
۲	استاد مشاور	دکتر حق شناس	استاد بار	پژوهشگاه بین المللی زلزله شناسی و مهندسی زلزله	
۳	استاد مدعو	دکتر سهرابی بیدار	استاد بار	دانشگاه تهران	
۴	استاد ممتحن	دکتر شفیعی	استاد بار	پژوهشگاه بین المللی زلزله شناسی و مهندسی زلزله	
۵	نایابده تحصیلات تکمیلی	دکتر شفیعی	استاد بار	پژوهشگاه بین المللی زلزله شناسی و مهندسی زلزله	
۶	مدیر تحصیلات تکمیلی	دکتر زعفرانی	استاد بار	پژوهشگاه بین المللی زلزله شناسی و مهندسی زلزله	

چکیده

تحقیقات عددی پیشین بر روی رفتار لرزمای عوارض توپوگرافی عمدتاً به انواع منفرد آنها محدود بوده است. در همین حال نگاه واقع‌بینانه به طبیعت اطراف نشان می‌دهد که تنوع و پیچیدگی ناهمواری‌های سطح زمین بسیار بیشتر است و عوارض توپوگرافی غالباً به شکل مرکب ظاهر می‌شوند. هدف این بررسی ارزیابی رفتار لرزمای تپه‌های دو بعدی نیم سینوسی مجاور است که در برابر امواج مهاجم قائم برشی (SV) قرار گرفته‌اند. پاسخ دادن به سؤالاتی نظری آنکه آیا می‌توان تپه‌های مرکب را با مدل‌های منفرد معادلسازی نمود و یا اینکه نتایج بدست آمده تا چه اندازه ما را به آنچه در مشاهدات تجربی دیده می‌شود نزدیکتر خواهد کرد، ما را در رسیدن به هدف فوق یاری می‌کند. نتایج بدست آمده از مطالعات حساسیت‌سنجی عددی بیانگر آن است که الگوی کلی رفتار لرزمای تپه‌های مجاور با حالت تپه منفرد مشابه است. نفس مجاور تپه‌ها با یکدیگر، پتانسیل بزرگنمایی قله‌ها و کوچکنمایی کناره‌ها را افزایش می‌دهد. با این حال نمی‌توان تپه‌های مرکب چندگانه را با یک تپه منفرد دارای نسبت شکلی دیگر معادلسازی کرد. همچنین اگرچه فضای میان دو تپه به لحاظ کیفی رفتاری شبیه رفتار دره منفرد دارد، اما به لحاظ کمی نمی‌توان آن را با یک دره‌ی دارای نسبت شکل معادل شبیه‌سازی کرد. بطور کلی تپه‌های دارای نسبت شکل بزرگتر اثر بیشتری بر تپه‌های کوچکتر داشته و نحوه قرارگیری تپه‌ها در کنار یکدیگر نیز روی پتانسیل بزرگنمایی اثرگذار می‌باشد. ایجاد فاصله بین تپه‌ها پتانسیل بزرگنمایی و کوچکنمایی را در نقاط مختلف تپه‌ها افزایش می‌دهد. مقایسه داده‌های بدست آمده در این مطالعه با مطالعات تجربی انجام شده در ادبیات فنی نیز نشان می‌دهد که در نظر گرفتن اثر مجاورت تپه‌ها نتایج را به واقعیت نزدیکتر می‌نماید اگر چه لزوم درنظر گرفتن سایر پیچیدگی‌های طبیعی کماکان احساس می‌شود.

واژه‌های کلیدی

تپه‌های مرکب مجاور، رفتار لرزمای، پتانسیل بزرگنمایی، نسبت شکل، نحوه قرارگیری، پیچیدگی‌های طبیعی.

فهرست مطالب

صفحه	عنوان
الف	چکیده
ن	مقدمه
۱	فصل اول مروری بر ادبیات فنی
۲	۱-۱) مقدمه
۳	۲-۱) برآورد رفتار لرزه‌ای عوارض توپوگرافی دو بعدی
۳	۱-۲-۱) برآورد رفتار لرزه‌ای عوارض توپوگرافی دو بعدی به روش‌های تحلیلی
۳	۱-۲-۲) برآورد رفتار لرزه‌ای عوارض توپوگرافی دو بعدی به روش‌های تجربی
۱۹	۱-۲-۳) برآورد رفتار لرزه‌ای عوارض توپوگرافی دو بعدی به روش‌های مبتنی بر مدلسازی عددی
۲۹	۱-۲-۴) برآورد رفتار لرزه‌ای عوارض توپوگرافی دو بعدی به روش‌های مبتنی بر مدلسازی فیزیکی
۳۰	۱-۳-۱) برآورد رفتار لرزه‌ای تپه‌های دو بعدی سینوسی شکل
۳۰	۱-۳-۲) برآورد رفتار لرزه‌ای تپه‌های دو بعدی سینوسی شکل منفرد
۴۱	۱-۳-۳) برآورد رفتار لرزه‌ای تپه‌های دو بعدی سینوسی شکل مجاور
۴۴	۱-۴) نتیجه گیری
۴۵	فصل دوم کاربرد روش اجزاء مرزی در تحلیل لرزه‌ای عوارض توپوگرافی
۴۶	۱-۲) مقدمه
۴۷	۲-۲) معادلات اساسی
۴۷	۲-۳-۱) جداسازی زمانی و مکانی
۴۷	۲-۳-۲) جداسازی در زمان
۴۸	۲-۳-۳) جداسازی در مکان

۴۹	۴-۲) الگوریتم حل
۵۱	۲-۲) مثالهای عددی
۵۲	۲-۳) دره خالی با مقطع نیم دایره
۵۳	۲-۴-۱) تابش قائم
۵۳	۲-۴-۲) تابش مایل
۵۶	۲-۵-۲) دره آبرفتی با مقطع نیم دایره
۵۷	۲-۵-۲-۱) حالت همگن
۵۸	۲-۵-۲-۲) حالت غیر همگن
۶۱	۲-۵-۳) تپه با مقطع سینوسی
۶۳	۲-۶) نتیجه گیری
۶۴	فصل سوم متداول‌زی مطالعات
۶۵	۳-۱) مقدمه
۶۵	۳-۲) متداول‌زی مطالعات
۶۶	۳-۲-۱) پارامترهای درگیر در مطالعات (نسبت شکل، فرکانس و پریود بی بعد، محدوده پریودیک تعریف شده)
۶۶	۳-۲-۱-۱) نسبت شکل
۶۶	۳-۲-۱-۲) فرکانس و پریود بدون بعد
۶۷	۳-۲-۱-۳) محدوده پریودیک تعریف شده
۶۷	۳-۲-۲) تعریف موج ورودی
۶۸	۳-۲-۳) مشخصات هندسی مدلها
۶۸	۳-۲-۳-۱) تپه‌های دوگانه
۶۹	۳-۲-۳-۲) تپه‌های سه‌گانه
۶۹	۳-۲-۴) فرضیات حاکم بر مطالعات
۷۰	۳-۲-۵) نتایج تحلیل
۷۰	۴-۲-۵-۱) الگوی تغییر مکان (زمان- مکان- تغییر مکان) برای کل تپه

۲-۵-۲-۳) الگوی تغییر مکان (زمان- مکان- تغییر مکان) برای کل تپه	۷۰
۲-۵-۲-۳) الگوی بزرگنمایی (فرکانس- مکان- بزرگنمایی) برای کل تپه	۷۰
۳-۵-۲-۳) منحنی های بزرگنمایی در تاج تپه	۷۱
۴-۵-۲-۳) منحنی های بزرگنمایی در سایر نقاط	۷۱
فصل چهارم رفتار تپه های نیم سینوسی منفرد	۷۲
۱-۴) مقدمه.....	۷۳
۲-۴) مشخصات مدلسازی(هندسه مدل، موج مهاجم، ابعاد مش بندی و طول گام زمانی در تحلیل)	۷۳
۳-۴) نتایج تحلیل	۷۴
۱-۳-۴) الگوی تغییر مکان (زمان- مکان- تغییر مکان) برای کل تپه	۷۵
۲-۳-۴) الگوی بزرگنمایی (فرکانس- مکان- بزرگنمایی) برای کل تپه	۷۵
۳-۳-۴) منحنی های بزرگنمایی در تاج تپه	۷۸
۴-۴) نتیجه گیری	۸۰
فصل پنجم رفتار تپه های نیم سینوسی مرکب دوگانه همسان	۸۱
۱-۵) رفتار لرزه ای تپه های مرکب دوگانه همسان	۸۲
۲-۵) مشخصات مدلسازی(هندسه مدل، موج مهاجم، ابعاد مش بندی و طول گام زمانی در تحلیل)	۸۲
۳-۵) نتایج تحلیل	۸۳
۱-۳-۵) الگوی تغییر مکان (زمان- مکان- تغییر مکان) برای کل تپه	۸۴
۲-۳-۵) الگوی بزرگنمایی (فرکانس- مکان- بزرگنمایی) برای کل تپه	۸۶
۳-۳-۵) منحنی های بزرگنمایی در تاج تپه	۸۸
۴-۵) بررسی میزان بزرگنمایی سایر نقاط در تپه های مرکب دوگانه همسان	۹۲
۱-۴-۵) بزرگنمایی در کناره های تپه ها (نقاط E و G)	۹۲
۲-۴-۵) بزرگنمایی در نقطه قرار گرفته میان تپه ها (نقطه C)	۹۶

۳-۴-۵) مقایسه رفتار لرزه‌ای نقطه قرار گرفته میان تپه‌ها (نقطه C) و نقطه تاج (نقطه B) در تپه‌های مرکب همسان، با کناره و قعر دره‌های منفرد	۹۹
۵-۵) نتیجه گیری	۱۰۲
فصل ششم رفتار تپه‌های نیم سینوسی مرکب دوگانه ناهمسان	۱۰۳
۱-۶) رفتار لرزه‌ای تپه‌های مرکب دوگانه غیر همسان	۱۰۴
۲-۶) مشخصات مدلسازی (هندرسه مدل، موج مهاجم، ابعاد مش بندی و طول گام زمانی در تحلیل)	۱۰۴
۳-۶) نتایج تحلیل	۱۰۶
۱-۲-۶) الگوی تغییر مکان (زمان- مکان- تغییر مکان) برای کل تپه	۱۰۷
۲-۳-۶) الگوی بزرگنمایی (فرکانس- مکان- بزرگنمایی) برای کل تپه	۱۰۹
۳-۳-۶) منحنی‌های بزرگنمایی در تاج تپه	۱۱۱
۴-۶) بررسی میزان بزرگنمایی سایر نقاط در تپه‌های مرکب دوگانه ناهمسان	۱۱۵
۱-۴-۶) بزرگنمایی در کناره‌های تپه‌ها (نقاط E و G)	۱۱۵
۲-۴-۶) بزرگنمایی در نقطه قرار گرفته میان تپه‌ها (نقطه C)	۱۱۹
۳-۴-۶) مقایسه رفتار لرزه‌ای نقطه قرار گرفته میان تپه‌ها (نقطه C) و نقطه تاج (نقطه B) در تپه‌های مرکب ناهمسان، با کناره و قعر دره‌های منفرد	۱۲۲
۵-۶) نتیجه گیری	۱۲۶
فصل هفتم رفتار تپه‌های نیم سینوسی مرکب سه‌گانه	۱۲۷
۱-۷) رفتار لرزه‌ای تپه‌های مرکب سه‌گانه	۱۲۸
۲-۷) مشخصات مدلسازی (هندرسه مدل، موج مهاجم، ابعاد مش بندی و طول گام زمانی در تحلیل)	۱۲۸
۳-۷) نتایج تحلیل	۱۲۹
۲-۲-۷) الگوی تغییر مکان (زمان- مکان- تغییر مکان) برای کل تپه	۱۲۹
۳-۲-۷) الگوی بزرگنمایی (فرکانس- مکان- بزرگنمایی) برای کل تپه	۱۳۱

۳-۳-۷) منحنی های بزرگنمایی در تاج تپه	۱۳۲
۴-۷) بررسی میزان بزرگنمایی سایر نقاط در تپه های مرکب سه گانه	۱۳۳
۴-۷) بزرگنمایی نقطه قرار گرفته در بین دو تپه (نقطه C) و کناره تپه ها (نقطه D)	۱۳۴
۵-۷) نتیجه گیری	۱۳۴
فصل هشتم بحث و بررسی	۱۳۷
۱-۸) بررسی نتایج مطالعات پارامتریک تپه های مرکب	۱۳۸
۲-۸) بررسی میزان نسبت بزرگنمایی تاج تپه مرجع به سایر نقاط	۱۳۹
۱-۲-۸) نسبت بزرگنمایی در تپه های مجاور دو گانه	۱۴۰
۲-۲-۸) نسبت بزرگنمایی در تپه های مجاور سه گانه	۱۴۵
۳-۸) مقایسه نتایج با داده های حاصل از مشاهدات تجربی در ادبیات فنی	۱۴۸
۱-۳-۸) بررسی شرایط ساختگاه در مشاهدات تجربی موجود در ادبیات فنی	۱۴۸
۲-۳-۸) مقایسه بزرگنمایی بدست آمده در مطالعه حاضر با نتایج حاصل از مشاهدات تجربی در ادبیات فنی	۱۵۴
۴-۸) نتیجه گیری	۱۵۷
فصل نهم نتیجه گیری	۱۵۸
۱-۹) نتایج کلی اثر مجاورت عوارض روی رفتار لرزه ای تپه های دوبعدی نیم سینوسی	۱۵۹
۱-۱-۹) نتایج ارزیابی برای تپه های منفرد	۱۵۹
۲-۱-۹) نتایج ارزیابی برای تپه های مرکب دو گانه	۱۵۹
۳-۱-۹) نتایج ارزیابی برای تپه های مرکب سه گانه	۱۶۰
۴-۱-۹) مقایسه نتایج با داده های حاصل از مشاهدات تجربی در ادبیات فنی	۱۶۱
۲-۹) ارائه پیشنهادات برای مطالعات آینده	۱۶۱
مراجع	۱۶۲
چکیده انگلیسی	۱۷۱

فهرست اشکال

صفحه

عنوان

- شکل (۱-۱) : وضعیت توپوگرافی، شرایط زمین شناسی و موقعیت ایستگاههای اندازه گیری (سمت راست)،
نسبتهای طیفی اندازه گیری شده (سمت چپ)، در کوههای Buttler و Josephin Peak ۵.....Kagel
- شکل (۲-۱) : وضعیت توپوگرافی و موقعیت ایستگاههای اندازه گیری (سمت راست)، نسبتهای طیفی محاسبه
شده به روش Boor برای سه زاویه تابش موج مهاجم SH (سمت چپ)، در کوههای Powell ۷.....Bays و Gap ،
- شکل (۳-۱) : مقایسه نتایج مشاهدات تجربی با نتایج محاسبات حل عددی در بررسی انجام شده توسط
Griffith & Bollinger ۸.....
- شکل (۴-۱) : نسبت بزرگنمایی طیفی اندازه گیری شده در بررسی انجام شده توسط Tucker et.al ۹.....
- شکل (۵-۱) : بزرگنمایی بیشینه شتاب زمین در روی تپه‌ای در ماتسوزاکی ژاپن ۱۰.....
- شکل (۶-۱) : وضعیت توپوگرافی، شرایط زمین شناسی و موقعیت ایستگاههای اندازه گیری (سمت راست)،
نسبتهای طیفی اندازه گیری و محاسبه شده (سمت چپ)، در کوههای Sourpi و St. Eynard ۱۲.....
- شکل (۷-۱) : وضعیت توپوگرافی و موقعیت ایستگاههای اندازه گیری (بالا)، نسبتهای طیفی اندازه گیری شده
(پایین)، در کوه Epire ۱۴.....
- شکل (۸-۱) : وضعیت توپوگرافی، شرایط زمین شناسی و موقعیت ایستگاههای اندازه گیری (بالا)، نگاشتهای
ثبت شده در ایستگاهها و نسبتهای طیفی اندازه گیری شده (پایین)، در کوه Tarzana ۱۵.....
- شکل (۹-۱) : وضعیت توپوگرافی، شرایط زمین شناسی و موقعیت ایستگاههای اندازه گیری ، نگاشتهای ثبت
شده در ایستگاهها ، کوه Kitherion ۱۶.....
- شکل (۱۰-۱) : وضعیت توپوگرافی، شرایط زمین شناسی و موقعیت ایستگاههای اندازه گیری (سمت راست)،
نسبتهای طیفی اندازه گیری شده در دو راستای شمالی-جنوبی و شرقی-غربی (سمت چپ)، در
کوه Matsuzaki ۱۸.....
- شکل (۱۱-۱) : وضعیت توپوگرافی، شرایط زمین شناسی و موقعیت ایستگاههای اندازه گیری (بالا)، نسبتهای
طیفی اندازه گیری شده در سه ایستگاه TOP5 ، TOP6 و TOP7 (پایین)، در مرکز شهر
UMBERA در مرکز ایتالیا ۲۰.....
- شکل (۱۲-۱) : وضعیت توپوگرافی، و موقعیت ایستگاههای اندازه گیری (سمت راست)، نسبتهای طیفی اندازه گیری
شده در ایستگاه RH6 (سمت چپ)، در تپه LITTLE RED HILLS در منطقه LAKE COLERIDGE در
جنوب نیوزیلند ۲۱.....

- شکل (۱۳-۱) : وضعیت توپوگرافی، شرایط زمین شناسی و موقعیت ایستگاههای اندازه‌گیری (بالا)، نسبتهای طیفی اندازه‌گیری شده در ایستگاه NARN7 (پایین)، در تپه NARN7 در مرکز ایتالیا..... ۲۲
- شکل (۱۴-۱) : منحنی‌های بزرگنمایی عوارض توپوگرافی به ازاء طول موج مهاجم ۵ برابر عارضه ۲۳
- شکل (۱۵-۱) : نتایج بدست آمده برای تپه مثلثی با نسبت شکل SR=1.0 در برخورد با موج SV با زاویه تابش ۳۰ درجه ۲۴
- شکل (۱۶-۱) : نتایج بدست آمده برای دره نیم بیضی با نسبت شکل SR=3.0 در برخورد با موج SV با زاویه تابش ۳۰ درجه ۲۵
- شکل (۱۷-۱) : هندسه شبیه و منحنی بزرگنمایی تاج به ازاء زوایای مختلف شب در برابر امواج مهاجم SH ۲۶
- شکل (۱۸-۱) : منحنی‌های بزرگنمایی دره‌ها به ازاء ارتفاع و اشكال مختلف در برخورد با امواج مهاجم P و SV ۲۸
- شکل (۱۹-۱) : مشخصات هندسی مدل تپه (بالا)، تاریخچه زمانی و طیف دامنه فوریه موج ریکر (پایین) ۳۰
- شکل (۲۰-۱) : مؤلفه افقی و قائم تاریخچه زمانی تغییر مکان برای ضربی پواسون ۰/۳۳ ۳۲
- شکل (۲۱-۱) : مؤلفه افقی و قائم بزرگنمایی تغییر مکان برای ضربی پواسون ۰/۳۳ ۳۳
- شکل (۲۲-۱) : منحنی بزرگنمایی نقطه تاج تپه به ازاء نسبت شکلهای مختلف ۳۴
- شکل (۲۳-۱) : دسته بندی تغییرات بزرگنمایی نقاط یال تپه بر حسب نسبت شکل برای ضربی پواسون ۰/۳۳ ۳۵
- شکل (۲۴-۱) : محدوده پریود بدون بعد که در آن اثر تپه نیم سینوسی دوبعدی قابل صرفنظر کردن است چپ)، بیشینه ضربی بزرگنمایی برای تاج تپه نیم سینوسی (راست)، در برابر موج مهاجم SV ۳۸
- شکل (۲۵-۱) : پریود مشخصه تپه نیم سینوسی در برابر موج مهاجم SV ۳۸
- شکل (۲۶-۱) : اثر نسبت پواسون روی منحنی‌های بزرگنمایی در تاج تپه در برابر موج مهاجم SV ۳۹
- شکل (۲۷-۱) : طیف پاسخ برای تپه‌های نیم سینوسی دوبعدی در ساختگاه سنگی ۴۰
- شکل (۲۸-۱) : اثر همسایگی عوارض در نیم فضای همگن ۴۲
- شکل (۲۹-۱) : اثر توپوگرافی و لایه بندی زیر سطحی روی نسبت طیفی (کناره/تاج) ۴۳
- شکل (۱-۲) : هندسه قابل تحلیل توسط نرمافزار Hybrid ۵۱
- شکل (۲-۲) : (الف) تاریخچه زمانی و (ب) طیف دامنه فوریه موج ریکر ۵۲
- شکل (۳-۲) : هندسه دره خالی با مقطع نیم‌دایره ۵۳
- شکل (۴-۲) : بزرگنمایی حرکت سطحی به ازاء فرکانس بدون بعد ۵/۰ در تابش قائم ۵۴
- شکل (۵-۲) : بزرگنمایی حرکت سطحی به ازاء فرکانس بدون بعد ۱۰/۰ در تابش قائم ۵۴
- شکل (۶-۲) : بزرگنمایی حرکت سطحی به ازاء فرکانس بدون بعد ۲۰/۰ در تابش قائم ۵۵
- شکل (۷-۲) : بزرگنمایی حرکت سطحی به ازاء فرکانس بدون بعد ۵/۰ در تابش با زاویه ۶۰ درجه و موج مهاجم ۵۵

شکل (۸-۲) : بزرگنمایی حرکت سطحی به ازاء فرکانس بدون بعد $1/0$ در تابش با زاویه 60° درجه و موج مهاجم	۵۶.....P
شکل (۹-۲) : مقایسه تاریخچه زمانی تغییر مکان نقطه (۱۰/۷۱۴۳۲) با حرکت میدان آزاد حاصل از تابش موج با زاویه 60° درجه.....P	۵۶.....
شکل (۱۰-۲) : هندسه دره پر با مقطع نیم دایره	۵۷.....
شکل (۱۱-۲) : مقایسه تاریخچه زمانی تغییر مکان نقطه A با حرکت میدان آزاد.....	۵۷.....
شکل (۱۲-۲) : تاریخچه زمانی تغییر مکان نقطه A در دو گام زمانی مختلف	۵۸.....
شکل (۱۳-۲) : تاریخچه زمانی تغییر مکان نقطه B در دو گام زمانی مختلف	۵۹.....
شکل (۱۴-۲) : بزرگنمایی حرکت سطحی به ازاء فرکانس بدون بعد $0/5$	۵۹.....
شکل (۱۵-۲) : بزرگنمایی حرکت سطحی به ازاء فرکانس بدون بعد $0/75$	۶۰.....
شکل (۱۶-۲) : مقایسه تاریخچه زمانی تغییر مکان افقی نقطه A از شکل (۱۰-۲) با استفاده از روش المان مرزی و مرکب در گامهای زمانی مختلف.....	۶۰.....
شکل (۱۷-۲) : مقایسه تاریخچه زمانی تغییر مکان افقی نقطه B از شکل (۱۰-۲) با استفاده از روش المان مرزی و مرکب در گامهای زمانی مختلف.....	۶۱.....
شکل (۱۸-۲) : هندسه تپه سینوسی شکل	۶۲.....
شکل (۱۹-۲) : منحنی‌های بزرگنمایی به دست آمده از روش اجزاء مرزی و ترکیب اجزاء مرزی با اجزاء محدود به ازای فرکانس بدون بعد $1/0$ و موج مهاجم SV	۶۲.....
شکل (۱-۳) : مشخصات هندسی تپه نیم سینوسی.....	۶۶.....
شکل (۲-۳) : (الف) تاریخچه زمانی و (ب) طیف دامنه فوریه موج ریکر	۶۷.....
شکل (۳-۳): الف) نحوه قرارگیری تپه‌های دوگانه همسان ب) نحوه قرارگیری تپه‌های دوگانه ناهمسان	۶۹.....
شکل (۴-۳): الف) نحوه قرارگیری تپه‌های سهگانه همسان ب) نحوه قرارگیری تپه‌های سهگانه ناهمسان	۶۹.....
شکل (۱-۴) : الگوی تغییر مکان (زمان- مکان- تغییر مکان) برای محدوده مدلسازی شده در تپه‌های منفرد	۷۶.....
شکل (۲-۴) : الگوی بزرگنمایی (فرکانس- مکان- بزرگنمایی) برای محدوده مدلسازی شده در تپه‌های منفرد	۷۷.....
شکل (۳-۴) : منحنی‌های بزرگنمایی در تاج تپه‌های منفرد	۷۹.....
شکل (۱-۵) : الگوی تغییر مکان (زمان- مکان- تغییر مکان) برای محدوده مدلسازی شده در تپه‌های مرکب دوگانه همسان	۸۵.....
شکل (۲-۵) : الگوی بزرگنمایی (فرکانس- مکان- بزرگنمایی) برای محدوده مدلسازی شده در تپه‌های مرکب دوگانه همسان	۸۷.....
شکل (۳-۵) : منحنی‌های بزرگنمایی در تاج تپه‌های مرکب دوگانه همسان	۸۹.....
شکل (۴-۵) : منحنی بزرگنمایی طیفی تاج تپه مرجع (نقطه B) برای تپه‌های مرکب دوگانه همسان، (راست) حالت قرارگیری تپه‌ها با فاصله؛ (چپ) حالت قرارگیری تپه‌ها بدون فاصله	۹۰.....

شکل (۵-۵) : منحنی بزرگنمایی طیفی کناره تپه مرجع (نقطه E) برای تپه های مرکب دوگانه همسان ، (راست)	۹۳
حالت قرارگیری تپه ها با فاصله ؛ (چپ) حالت قرارگیری تپه ها بدون فاصله	
شکل (۶-۵) : منحنی بزرگنمایی طیفی کناره تپه مرجع (نقطه G) تپه های مرکب دوگانه همسان	۹۵
شکل (۷-۵) : منحنی بزرگنمایی طیفی نقطه میان تپه ها (نقطه C) برای تپه های مرکب دوگانه همسان ،	
(راست) حالت قرارگیری تپه ها با فاصله ؛ (چپ) حالت قرارگیری تپه ها بدون فاصله	۹۷
شکل (۸-۵) : منحنی بزرگنمایی طیفی نقطه میان تپه ها (نقطه C) برای تپه های مرکب دوگانه همسان و نقطه	
قعر در دره منفرد ۱۰۰	
شکل (۹-۵) : منحنی بزرگنمایی طیفی نقطه میان تپه ها (نقطه B) برای تپه های مرکب دوگانه همسان و نقطه	
قعر در دره منفرد ۱۰۱	
شکل (۱-۶) : الگوی تغییر مکان (زمان - مکان - تغییر مکان) برای محدوده مدلسازی شده در تپه های مرکب	
دوگانه ناهمسان ۱۰۸	
شکل (۲-۶) : الگوی بزرگنمایی (فرکانس - مکان - بزرگنمایی) برای محدوده مدلسازی شده در تپه های مرکب	
دوگانه همسان ۱۱۰	
شکل (۳-۶) : منحنی های بزرگنمایی در تاج تپه های مرکب دوگانه ناهمسان ۱۱۲	
شکل (۴-۶) : منحنی بزرگنمایی طیفی تاج تپه مرجع (نقطه B) تپه های مرکب دوگانه ناهمسان برای حالت	
قرارگیری تپه ها بدون فاصله ۱۱۳	
شکل (۵-۶) : منحنی بزرگنمایی طیفی کناره تپه مرجع (نقطه E) تپه های مرکب دوگانه ناهمسان برای حالت	
قرارگیری تپه ها بدون فاصله ۱۱۶	
شکل (۶-۶) : منحنی بزرگنمایی طیفی تاج تپه مرجع (نقطه G) تپه های مرکب دوگانه ناهمسان ۱۱۸	
شکل (۷-۶) : منحنی بزرگنمایی طیفی کناره تپه مرجع (نقطه C) تپه های مرکب دوگانه ناهمسان برای حالت	
قرارگیری تپه ها بدون فاصله ۱۲۰	
شکل (۸-۶) : منحنی بزرگنمایی طیفی نقطه میان تپه ها (نقطه C) برای تپه های مرکب دوگانه ناهمسان و	
نقطه قعر در دره منفرد ۱۲۳	
شکل (۱-۷) : الگوی تغییر مکان (زمان - مکان - تغییر مکان) برای محدوده مدلسازی شده در تپه های مرکب	
سه گانه ۱۳۰	
شکل (۲-۷) : الگوی بزرگنمایی (فرکانس - مکان - بزرگنمایی) برای محدوده مدلسازی شده در تپه های مرکب	
سه گانه ۱۳۱	
شکل (۳-۷) : منحنی بزرگنمایی طیفی نقاط تاج تپه مرجع برای تپه های مرکب سه گانه در مقایسه با نقاط	
مشابه در تپه های منفرد ۱۳۲	
شکل (۴-۷) : منحنی های بزرگنمایی در تاج تپه های مرکب سه گانه ۱۳۳	

- شکل (۵-۷) : منحنی بزرگنمایی طیفی نقطه میانی تپه‌ها (نقطه C) برای تپه‌های مرکب سه‌گانه در مقایسه با نقاط مشابه در تپه‌های منفرد ۱۳۴
- شکل (۶-۷) : منحنی بزرگنمایی طیفی نقطه کناری تپه‌ها (نقطه D) برای تپه‌های مرکب سه‌گانه در مقایسه با کناره‌های تپه‌های منفرد ۱۳۵
- شکل (۱-۸) : نسبت بزرگنمایی در تاج تپه مرجع به نقطه میانی تپه‌ها (نقطه C / نقطه B) در تپه‌های مرکب دوگانه ناهمسان برای حالت قرارگیری بدون فاصله ۱۴۱
- شکل (۲-۸) : نسبت بزرگنمایی در تاج تپه مرجع به نقطه کناری خودش (نقطه E / نقطه B) در تپه‌های مرکب دوگانه ناهمسان برای حالت قرارگیری بدون فاصله ۱۴۲
- شکل (۳-۸) : نسبت بزرگنمایی در تاج تپه مرجع به نقطه کناری خودش (نقطه E / نقطه B) در تپه‌های مرکب دوگانه ناهمسان برای حالت قرارگیری با فاصله ۱۴۳
- شکل (۴-۸) : نسبت بزرگنمایی در تاج تپه مرجع به نقطه کناری خودش (نقطه G / نقطه B) در تپه‌های مرکب دوگانه ناهمسان برای حالت قرارگیری با فاصله ۱۴۴
- شکل (۵-۸) : نسبت بزرگنمایی در تاج تپه مرجع به نقطه میانی تپه‌ها (نقطه C / نقطه B) در تپه‌های مرکب سه‌گانه ۱۴۶
- شکل (۶-۸) : نسبت بزرگنمایی در تاج تپه مرجع به نقطه کناری تپه مجاور (نقطه D / نقطه B) در تپه‌های مرکب سه‌گانه ۱۴۷
- شکل (۷-۸) : وضعیت توپوگرافی در محدوده تپه‌های Kagel و Josephin peak ، Butler ، کالیفرنیا، ایالات متحده آمریکا ۱۵۰
- شکل (۸-۸) : وضعیت توپوگرافی در محدوده تپه Vina del mar ، شیلی ۱۵۱
- شکل (۹-۸) : وضعیت توپوگرافی در محدوده تپه Robinwood ، سن خوزه، ایالات متحده آمریکا ۱۵۲
- شکل (۱۰-۸) : وضعیت توپوگرافی در محدوده تپه Tarzana ، در شهر Los Angeles، ایالات متحده آمریکا ۱۵۲
- شکل (۱۱-۸) : وضعیت توپوگرافی در محدوده تپه Matsuzaki در نزدیکی شهر Ushibara ، ژاپن ۱۵۲
- شکل (۱۲-۸) : وضعیت توپوگرافی در محدوده تپه Kitherion ، در نزدیکی شهر Corinth ، یونان ۱۵۳
- شکل (۱۳-۸) : مقایسه بزرگنمایی بدست آمده در مطالعه حاضر با نتایج حاصل از مشاهدات تجربی در ادبیات فنی ۱۵۶

فهرست جداول

صفحه

عنوان

جدول (۱-۱) : زلزله‌های بزرگ ثبت شده بین سالهای ۱۹۸۵-۱۹۹۰ در شبکه آرایه قرار گرفته در ماتسوزاکی	۷۱
جدول (۲-۱) : ضرایب تأثیرتوبوگرافی در پریودهای بلند و کوتاه در تپه‌های دو بعدی با سرعت موج برشی	۴۰
جدول (۳-۱) : مشخصات مدلها در تپه‌های منفرد	۷۴
جدول (۴-۱) : مشخصات مدلها در تپه‌های مرکب دوگانه همسان	۸۳
جدول (۴-۲) : مشخصات مدلها در تپه‌های مرکب دوگانه ناهمسان	۱۰۵
جدول (۴-۳) : مشخصات هندسی مدلها در تپه‌های مرکب سه‌گانه	۱۲۸
جدول (۴-۴) : مشخصات کلی ساختگاه و نتایج گزارش شده در مشاهدات تجربی موجود در ادبیات فنی	۱۵۴

یکی از مهمترین عواملی که بر روی پاسخ لرزه ای سطح زمین تأثیر قابل توجهی دارد شرایط ساختگاه می‌باشد. بطور کلی رفتار لرزه ای سطح زمین متأثر از سه عامل می‌باشد که از آنها تحت عنوانین اثر چشمی (Source Effect)، اثر مسیر انتشار (Path Effect) و اثر ساختگاه (Site Effect) یاد می‌شود. یکی از اثرات ساختگاهی شناخته شده، اثرات ناشی از توپوگرافی و ناهمواریهای سطحی زمین است. مشاهدات انجام شده توسط Trifunac & Hudson و Boore طی زمین لرزه سن فرناندو [۱] در سد پاکوما [۲] و Lee و دیگران پس از زمین لرزه نورتیج (۱۹۹۴) در تپه تارزان [۳]، نقطه آغاز بررسیها بود و پس از آن مطالعات گسترده عددی و تحلیلی بسیاری جهت برآورد رفتار لرزه‌ای ناهمواریها و روش ساختن اثر آنها روی پاسخ لرزه‌ای سطح زمین انجام شد. علیرغم سازگاری کلی نتایج در برخی موارد، میزان بزرگنمایی زلزله با نتایج حاصل از مشاهدات تجربی همخوانی کافی و مناسبی نداشت و تفاوت مشاهده شده ناشی از ساده بودن مدلها و فرضیات درنظر گرفته شده بنظر می‌آمد. بدون شک عواملی نظیر لایه بندي زیرسطحی زمین و ناهمواریهای سطحی که هر کدام تنوع و پیچیدگیهای زيادي در طبیعت دارند روی نتایج مطالعات و رسيدن به مقادير دقیقتر تأثیر زيادي داشته و حضور هر یك از اين پیچیدگیها می‌تواند راه را به سوي برآورد رفتار لرزه‌ای عوارض توپوگرافی هموارتر سازد. با گذشت ۴۰ سال از آغاز مطالعات، روش‌های عددی و تحلیلی گوناگونی برای بررسی تأثیر ناهمواریها بر رفتار لرزه‌ای سطح زمین بکار گرفته شده و تنوع روشها و نيز فرضیات ساده کننده، منجر به عدم همگرايی نتایج بررسی‌ها شده و رسيدن به نتیجه ای مشترک را دشوارتر نموده است. در میان فرضیات ساده کننده ای که در بررسیها دیده می‌شود تلاش‌هایی برای حذف برخی از آنها و پیچیده ساختن مدلها صورت گرفته است که می‌توان به درنظر گرفتن محیط با رفتار غیر خطی، لایه لایه فرض کردن محیط و نيز حضور ناهمواریها در کنار يكديگر اشاره نمود.

شكل هندسى عوارض توپوگرافی یکی از مهمترین پارامترها در برآورد پاسخ لرزه ای سطح زمین می‌باشد و تا به امروز بر روی اين پارامتر مطالعات گسترده ای انجام شده است. اشکال ساده هندسى نظير نيم بيضى، نيم دايره، نيم سينوس، گوه ای شكل و ذوزنقه ای در بررسیها دیده شده و همانطور که در اکثر مطالعات مشاهده می‌شود شکل نيم سينوس برای عارضه تپه ای شکل مناسبتر بنظر رسیده و با واقعیت تطابق بيشتری دارد. به همین سبب در اين مطالعه تپه‌های نيم سينوسی مورد توجه قرار داده شده اند. علاوه بر اين در تمامی مطالعات، عوارض (تپه‌ها) بصورت منفرد حضور داشته و به جز تتها در يك مورد در باقی موارد اثر همسایگی با عارضه ای دیگر مشاهده و بررسی نشده است. در اين میان اثر مجاورت تنها در بخشی از مطالعات Geli و همکاران [۴] در سال ۱۹۸۸ مورد توجه قرار گرفته است. نتایج اين بررسی حکایت از اثر قابل توجه همسایگی بر رفتار لرزه ای سطح زمین داشته و علاقه را برای بررسی دقیقتر و روشنتر ساختن موضوع دوچندان می‌کند.

با مقدمه کوتاهی که به گوشه ای از ابعاد مسئله اشاره داشت، می‌توان هدف مطالعه و بررسی حاضر را تبيين نمود. در اين بررسی سعی شده است با انجام مطالعات گسترده حساسیت سنجی با استفاده از روش عددی اجزا

مرزی، رفتار لرزه ای تپه‌های نیم سینوسی مجاور مورد ارزیابی قرار گیرد تا میزان اثر مجاورت عوارض (تپه‌ها) بر روی نتایج بدست آورده شود و همچنین با مقایسه نتایج با مشاهدات تجربی میزان سازگاری آنها سنجیده شود. این پایان نامه دارای ۹ فصل به شرح زیر می‌باشد:

۱) فصل اول : مروری بر ادبیات فنی

در این فصل به مرور مطالعات و بررسیهای انجام شده در زمینه اثر توپوگرافی بر پاسخ لرزه ای سطح زمین پرداخته شده و در جمع بندی مطالب برای شروع مطالعات حاضر بسیار سودمند بوده است. در انتهای بررسی نیز با استفاده از اطلاعات موجود در این بخش مقایسه ای با نتایج بدست آمده انجام شده است.

۲) فصل دوم : کاربرد روش اجزاء مرزی در تحلیل لرزه ای عوارض توپوگرافی

در فصل دوم به معادلات حاکم در محیط و نحوه استخراج آنها پرداخته و در ادامه مثالهای عددی حل شده با استفاده از روش اجزا مرزی آورده شده است. با مقایسه نتایج حاصل از این روش و سایر روشها، اعتبار آن برای بررسی اثر توپوگرافی مورد سنجش قرار داده شده است.

۳) فصل سوم: متداول‌ترین مطالعات

پس از بررسی ابعاد مسئله و نیز انتخاب روش مناسب برای ارزیابی رفتار لرزه ای عوارض توپوگرافی، به روند کلی مطالعات گسترده حساسیت سنجی برنامه ریزی شده در این بخش اشاره می‌شود و نیز نحوه نمایش نتایج و پارامترهای مورد نیاز در فرایند مطالعه شرح داده خواهد شد.

۴) فصل چهارم : رفتار تپه‌های نیم سینوسی منفرد

مشخصات هندسی، پارامترهای مدلسازی و نیز نتایج اولیه بررسی برای تپه‌های نیم سینوسی منفرد در فصل چهارم مورد بررسی قرار داده شده است.

۵) فصل پنجم: رفتار تپه‌های نیم سینوسی مرکب دوگانه همسان

گام اول بررسی‌ها بر روی تپه‌های مجاور، مدلسازی تپه‌های با نسبت شکل یکسان می‌باشد. تپه‌های نیم سینوسی مرکب دوگانه همسان در ترکیب‌های مختلف در مجاورت یکدیگر قرار داده شده‌اند و نتایج مطالعه در این فصل گنجانده شده است.

۶) فصل ششم: رفتار تپه‌های نیم سینوسی مرکب دوگانه ناهمسان

پس از بررسی رفتار تپه‌های نیم سینوسی مرکب دوگانه همسان در فصل پنجم، به مطالعه رفتار لرزه‌ای تپه‌ها در حالت ناهمسان پرداخته شده و روند مدلسازی و پارامترها، مشخصات هندسی و نتایج تحلیلها نشان داده شده است.

۷) فصل هفتم: رفتار تپه‌های نیم سینوسی مرکب سه گانه

در پایان مسیر مطالعات، بررسی بر روی تپه‌های نیم سینوسی مرکب سه گانه انجام شده و مشخصات هندسی، سایر پارامترهای مدلسازی و نیز نتایج اولیه بررسی در فصل هفتم مورد بررسی قرار داده شده است.